



華南農業大學
South China Agricultural University

基于禁忌算法的旅行商问题 (TSP) 求解与优化

小组成员: 202225310203-陈烁璇 202225310207-胡金鑫

202128310219-王俊

专业班级: 22 计算机 2 班

指导老师: 蓝 连 涛

开课时间: 2024-2025-2

摘要

本文提出了一种改进型禁忌搜索算法，用于高效求解旅行商问题（TSP）。该算法融合了动态禁忌长度调节、多邻域局部搜索策略以及启发式初始化机制，有效兼顾全局探索与局部开发能力，能够克服局部最优和搜索停滞问题。在 TSPLIB 标准数据集上的实验表明，本文算法在解质量、收敛速度和稳定性方面显著优于遗传算法和模拟退火算法，其中最优解误差最低可达 0.03%，标准差远低于对比算法，表现出良好的鲁棒性。尽管该方法在中等规模问题中具有优秀表现，但在处理大规模 TSP 时仍面临一定的计算开销压力。未来可结合同步并行计算、自适应参数调节与结构感知机制进一步提升其扩展能力。整体而言，该算法在理论创新与实践应用方面均展现出较强的竞争力，适用于物流路径优化、调度等实际场景。

关键词：禁忌搜索；旅行商问题；组合优化；局部搜索

1 绪论	1
1.1 背景与研究意义	1
1.2 问题定义与研究挑战	1
1.3 本文贡献	2
2 相关工作综述	2
2.1 经典 TSP 求解算法	2
2.2 启发式与元启发式方法	3
2.3 禁忌搜索算法 (Tabu Search)	3
3. 问题描述与建模	3
3.1 TSP 问题数学定义	3
3.2 禁忌搜索基础原理	4
3.3 关键机制剖析	5
4 算法设计	5
4.1 整体流程图与伪代码	6
4.1.1 整体流程图	6
4.1.2 伪代码	6
4.2 候选解生成策略分析	10
4.2.1 Swap、2-opt、3-opt 操作分析	10
4.2.2 与邻域大小、扰动方式的关系	11
4.3 改进点与创新设计	11
4.3.1 动态禁忌长度策略	12
4.3.2 多种局部搜索混合机制	12
4.3.3 启发式初始化	13
4.4 复杂度分析	14
4.4.1 每轮复杂度分析	14
4.4.2 总时间复杂度与参数影响	15
4.4.2.3 与理论复杂度的对比	15
5 算法实现与模块设计	16
5.1 编程环境与平台	16

5.1.1	Python 核心库与依赖	16
5.1.2	模块结构与数据加载	16
5.2	模块设计与关键函数说明	16
5.2.1	核心类与功能模块	16
6	实验评估与结果分析	17
6.1	数据集说明	17
6.1.1	柏林 52 (Berlin52) 数据集	17
6.1.2	st70 数据集	18
6.1.3	kroA100 数据集	18
6.1.4	ch150 数据集	18
6.2	实验设置与评估指标	18
6.2.1	初始解与最终解距离	18
6.2.2	最优解误差 (相对误差)	19
6.2.3	时间消耗	19
6.3	参数敏感性分析	20
6.3.1	禁忌长度	20
6.3.2	邻域大小	21
6.3.3	候选解数量	22
6.4	对比实验 (Benchmark)	23
6.4.1	最优解质量分析	24
6.4.2	时间效率分析	24
6.4.3	算法特性与结果关联性	24
6.4.4	结论	24
6.5	可视化结果展示	25
6.5.1	收敛曲线可视化	25
6.5.2	路径可视化	26
6.6	消融实验设计	27
7	讨论	31
8	结论	32

1 绪论

1.1 背景与研究意义

旅行商问题（Traveling Salesman Problem, TSP）是组合优化领域中最具代表性和挑战性的 NP-hard 问题之一，在多个工程应用和现实生活场景中具有广泛而重要的应用价值。其核心目标是在给定若干个城市及其之间的路径距离或代价的前提下，寻找一条访问每个城市恰好一次并最终回到起点的最短路径。TSP 在诸如印刷电路板钻孔、飞机航线安排、公路网络建设、网络通信节点部署、物流配送路径优化、超市物品上架等诸多实际问题中均有典型体现，可被抽象建模为路径优化问题加以求解。因此，如何快速、准确地求解 TSP，对于提升各类系统运行效率、降低资源消耗、优化调度策略具有重要意义。

由于 TSP 属于 NP-hard 问题，其解空间随问题规模增大呈指数增长，传统的精确算法（如动态规划、分支限界法）在面对大规模实例时常常难以在可接受时间内获得有效解。在此背景下，启发式与元启发式算法因具备较强的搜索能力和收敛效率，成为求解 TSP 及其他 NP-hard 问题的主要研究方向。这些算法在兼顾解的质量和计算效率方面表现突出，尤其适用于处理大规模、复杂、约束不明确的问题。近年来，随着人工智能技术的发展，蚁群算法、遗传算法、模拟退火、禁忌搜索、粒子群优化等被广泛应用于 TSP 的求解[3]。上述典型智能算法的原理及其在 TSP 中的应用进行了系统综述，进一步验证了智能优化方法在 NP-hard 问题求解中的实际效果与理论潜力。

1.2 问题定义与研究挑战

旅行商问题（TSP）的标准定义为：给定一系列城市以及城市之间的距离（或代价）矩阵，要求找到一条访问每个城市恰好一次且最终回到起始城市的最短路径，即寻找一个最短的哈密顿回路。该问题虽然表述简洁，却因其复杂的组合结构而具有极高的计算复杂性。

TSP 属于典型的 NP-hard 问题，其解空间随着问题规模的扩大呈阶乘级增长。当城市数量为 n 时，可能的路径组合数为 $(n-1)!$ ，即便在城市数量较少的情况下，解空间也极其庞大。例如，当 $n = 20$ 时，所有可能的路径数达到 $19! = 1.216 \times 10^{17}$ ，这远超常规计算资源在可接受时间内所能处理的范围。如此庞大的解空间不仅使得穷举搜索变得不可行，而且也大大增加了优化算法陷入局部最优解的风险。

此外，TSP 的解空间往往具有高度非线性、非凸性，存在大量局部极小值。常规的贪婪策略或启发规则可能在搜索初期便陷入局部最优区域，难以跳出并继续探索更优解，尤其在大规模、高维度、路径结构复杂的 TSP 实例中更为显著。因此，如何在可接受的时间内有效探索广阔解空间、避免局部最优陷阱并趋近全局最优解，成为 TSP 求解过程中的核心难题[2]。

为应对上述挑战，当前大量研究聚焦于构造具有全局搜索能力和自适应机制的优化算法，通过引入扰动机制、多种邻域结构、种群多样性控制等方式，提高算法跳出局部最优的能力。后续章节将围绕这些挑战展开深入分析与算法设计。

1.3 本文贡献

在本文中针对传统禁忌搜索算法在解决旅行商问题（TSP）过程中存在的局部最优停滞、搜索效率不高等问题，提出了一种改进的禁忌搜索算法，并从初始化策略、搜索机制和算法调控等方面进行了系统优化。首先，在初始解生成阶段引入了启发式初始化方法，结合贪心策略和最近邻原则构建较优初始路径，有效提升了算法在初期的搜索起点质量。随后，在禁忌表管理方面设计了动态禁忌长度调节机制，根据当前搜索过程中的解质量变化趋势动态调整禁忌长度，从而在收敛与跳出局部最优之间实现更合理的平衡。为进一步增强搜索能力，我们融合多种局部搜索策略，综合利用 2-opt、3-opt、交换与插入等邻域结构，构建混合邻域搜索框架，通过策略调控实现多样化搜索路径的生成，提高了算法在复杂解空间中的探索深度与鲁棒性[1]。

此外，为更直观展示算法性能，在文中引入收敛曲线绘制模块，对优化过程进行可视化分析，帮助观察算法收敛趋势及稳定性表现。在实验设计方面，选取多组典型 TSP 实例开展交叉测试，并与遗传算法、模拟退火算法及标准禁忌搜索等主流方法进行对比分析，验证所提算法在路径长度、计算时间与稳定性等维度上的综合优势。实验结果表明，所提改进算法在不同规模与特征的 TSP 问题中均表现出更优的求解性能，具有良好的推广应用价值与研究意义。

2 相关工作综述

2.1 经典 TSP 求解算法

作为组合优化领域的经典问题，旅行商问题（TSP）最初主要通过精确算法进行求解，

包括枚举法、动态规划法和分支界限法。枚举法通过穷举所有可能路径以获得最优解，但其时间复杂度为 $O(n!)$ ，仅适用于城市数量极少的情况。动态规划法利用问题的最优子结构，将问题拆解为子问题递归求解，例如 Bellman–Held–Karp 算法，其时间复杂度为 $O(n^2 \cdot 2^n)$ ，在一定程度上提升了可解规模。分支界限法通过构造解空间树并设定上界和下界，对部分无效分支进行剪枝，提高了搜索效率。然而，这些精确算法在面临大规模实例时仍难以满足计算时间和资源消耗的实际需求，限制了其在现实场景中的应用。

2.2 启发式与元启发式方法

为应对 TSP 在大规模情形下的求解挑战，研究者广泛采用启发式与元启发式方法以获取高质量近似解。启发式方法通常基于领域知识快速构造可行解，如贪心法、最近邻法等，计算效率较高，但解的质量依赖启发规则，稳定性较差。元启发式方法则以更为通用的搜索策略在解空间中进行迭代优化，具有良好的全局搜索能力。其中，遗传算法（Genetic Algorithm, GA）通过模拟自然选择与遗传变异操作，逐步演化出高质量解，但存在早熟收敛风险；模拟退火算法（Simulated Annealing, SA）则以一定概率接受劣解，从而跳出局部最优陷阱，具备较强的搜索多样性，但收敛速度较慢，且对参数设置敏感。尽管这些方法在实际应用中取得了良好效果，但仍存在收敛稳定性和搜索效率方面的提升空间。

2.3 禁忌搜索算法（Tabu Search）

禁忌搜索算法（Tabu Search, TS）是一种基于邻域搜索的元启发式方法，在 TSP 等组合优化问题中应用广泛。其核心思想是通过引入“禁忌机制”，记录近期访问的解或操作，防止算法在短期内重复搜索相同路径，从而有效避免陷入局部最优。TS 在 TSP 中的应用通常结合 2-opt、3-opt 等邻域操作构造候选解集，通过评估函数选取最优非禁忌解进行迭代。然而，传统 TS 在实际应用中仍面临一些问题，如禁忌长度固定，难以兼顾搜索初期的探索性与后期的收敛性；候选解生成策略单一，可能导致搜索多样性不足，从而影响算法的全局性能。这些局限性促使研究者不断探索 TS 的改进方向，包括动态禁忌长度、自适应策略、多邻域集成等机制，以进一步提升其在 TSP 求解中的表现。

3. 问题描述与建模

3.1 TSP 问题数学定义

TSP 问题可以用图论模型表示为：给定一个完全图 $G = (V, E)$ ，其中：

$V = \{v_1, v_2, \dots, v_n\}$ 表示城市集合，每个顶点代表一个城市；

$E = \{(v_i, v_j) | v_i, v_j \in V, i \neq j\}$ 表示边的集合，每条边 (v_i, v_j) 对应一个非负权重 d_{ij} ，表示城市 v_i 与 v_j 之间的距离或代价。

目标是寻找一条经过所有城市一次且仅一次并最终回到起点的最短闭合路径，即求解包含所有顶点的最短哈密顿回路。设 $\pi = (\pi(1), \pi(2), \dots, \pi(n))$ 为城市访问的顺序排列，则该回路的总长度 $L(C)$ 可表示为：

$$L(C) = \sum_{i=1}^n d_{\pi(i), \pi(i+1)} \quad \text{其中 } \pi(n+1) = \pi(1)$$

TSP 的优化目标是寻找一组排列 π ，使得路径总长度 $L(C)$ 最小化，即：

$$\min_{\pi \in S_n} \sum_{i=1}^n d_{\pi(i), \pi(i+1)}$$

其中 S_n 表示所有 n 个城市的排列集合。由于其解空间规模为 $n!$ ，TSP 属于 NP-hard 问题，无法在多项式时间内求得精确解。因此，在实际应用中，常采用近似算法或元启发式算法进行求解。

3.2 禁忌搜索基础原理

在禁忌搜索算法求解旅行商问题（TSP）的框架下，解空间由所有可能的城市遍历序列构成，每个解本质上是一个城市排列组合，代表推销员访问所有城市的特定路径。以一个包含 n 个城市的 TSP 实例为例，解的形式可表示为长度为 n 的序列 $\pi = (\pi_1, \pi_2, \dots, \pi_n)$ ，其中 π_i 对应第 i 个访问的城市编号，且满足 $\sum_{i=1}^n \pi_i = 2n(n+1)$ 。

邻域结构作为算法探索解空间的核心机制，通过一系列局部变换操作生成邻域解。**Swap 操作**通过随机选取序列中的两个城市并交换其位置，生成新的路径，例如将 $\pi = (1, 2, 3, 4)$ 中城市 2 和 4 交换后得到 $\pi = (1, 4, 3, 2)$ ；**2-opt 操作**通过移除两条边并重新连接节点，形成更短路径，该操作能有效打破局部最优陷阱，例如在路径 $A-B-C-D$ 中删除边 $A-B$ 和 $C-D$ ，重新连接为 $A-D$ 和 $B-C$ ；**3-opt 操作**则通过移除三条边进行更复杂的重组，虽然计算复杂度较高，但在处理大规模问题时能探索更广阔的解空间。

算法执行过程中，维护一个禁忌表用于记录近期访问过的解或操作，避免重复搜索陷入循环。每次迭代时，算法从当前解的领域中筛选候选解，优先选择未被禁忌且目标函数（路径总距离）更优的解作为新的当前解；若所有候选解均被禁忌，则采用“特赦准则”允许部分禁忌解被释放。这一过程不断重复，直至达到最大迭代次数、目标函数收敛或满足其他预设终止条件，最终输出近似最优解。

3.3 关键机制剖析

禁忌表 (Tabu List) 作为禁忌搜索算法的核心组件，通过动态记录近期访问过的解及其变动信息，构建起局部搜索的“禁区”。具体实现时，可采用双端队列结构存储禁忌解，队首存放最新被禁忌的解，队尾存储即将解禁的解，通过设置固定的禁忌长度（如 50-200 次迭代）控制解的封禁时长。例如在旅行商问题（TSP）中，若某次迭代通过交换城市访问顺序获得新解，该交换操作将被记录在禁忌表中，后续迭代中禁止重复相同的交换动作，以此避免算法在已探索区域内重复搜索。

Aspiration 准则 作为禁忌策略的弹性补充机制，有效平衡了搜索的多样性与收敛性。当算法搜索到一个被禁忌的解，但其目标函数值（如 TSP 的总行程距离）显著优于当前全局最优解时，Aspiration 准则将自动触发解禁操作。以某 100 城市 TSP 问题为例，若禁忌表中记录的某解交换操作被禁止，但该操作生成的新解总距离比当前最优解缩短 15%，则强制采用该解作为新的搜索起点，从而突破局部最优的限制。

频率记忆机制 通过构建频率矩阵或哈希表，实时统计每个解结构或解变动的访问频次。在长周期搜索中，高频访问的解区域可能代表局部最优陷阱，算法可据此动态调整搜索步长或禁忌强度；而低频区域则暗示潜在的探索空间，可通过增加邻域搜索范围进行深度挖掘。例如在求解大规模 TSP 时，若频繁出现某组城市子路径的交换操作，可将其禁忌时长延长 20%，同时对低频操作区域实施随机扰动。

撤销机制 则为算法提供了应对搜索停滞的回滚方案。当连续若干次迭代（如 100 次）未出现目标函数值改进时，系统自动激活撤销功能，通过保存的历史解快照恢复至最近的有效搜索状态，并结合自适应重启策略（如调整禁忌表长度、更换邻域结构），重新启动搜索进程。这种机制在处理含复杂约束的 TSP 变体问题时尤为重要，能够有效避免算法陷入无解区域的死循环。

4 算法设计

4.1 整体流程图与伪代码

4.1.1 整体流程图

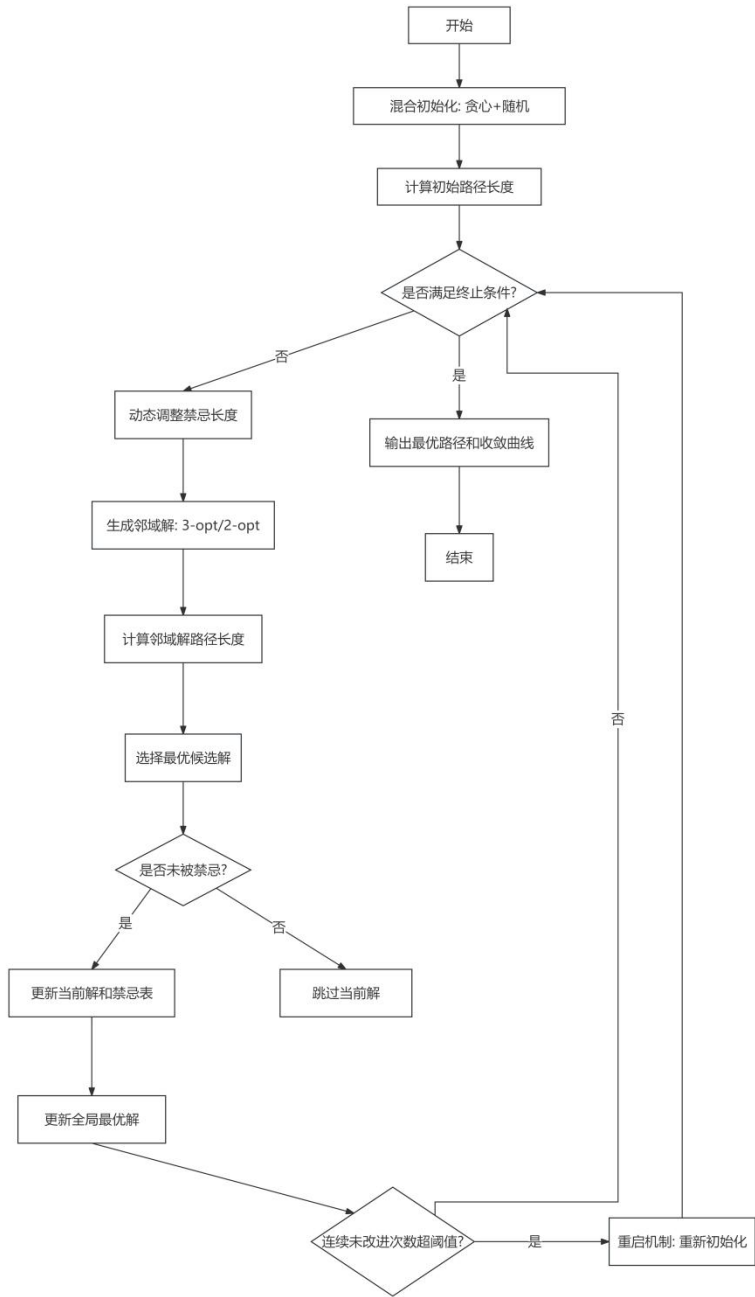


图 1 整体流程图

4.1.2 伪代码

4.1.2.1 主算法

Algorithm: 禁忌搜索求解 TSP 问题

Input: 城市坐标数据 data, 参数 (禁忌长度范围, 邻域大小, 候选解数量, 迭代次数)

Output: 最优路径 best_path, 最优路径长度 best_length

1. 初始化:

- 计算距离矩阵 $\text{dis_mat} \leftarrow \text{compute_dis_mat}(\text{data})$
- 混合初始化路径 $\text{path} \leftarrow \text{hybrid_init}(\text{贪心路径} + \text{随机路径})$
- 初始化禁忌表 $\text{taboo} \leftarrow []$
- 记录初始解 $\text{best_path} \leftarrow \text{path}, \text{best_length} \leftarrow \text{compute_pathlen}(\text{path})$

2. 主搜索循环:

for cnt in 1 to 总迭代次数 do:

1. 动态调整禁忌表长度:

$\text{taboo_size} \leftarrow \text{min_taboo} + (\text{max_taboo} - \text{min_taboo}) * (\text{cnt} / \text{总迭代次数})$

2. 生成邻域解:

if cnt < 总迭代次数 $\times 0.3$:

以 30% 概率使用 3-opt 生成邻域解, 否则使用 2-opt

else:

以 10% 概率使用 3-opt 生成邻域解, 否则使用 2-opt

$\text{new_paths} \leftarrow \text{generate_neighbors}(\text{cur_path}, \text{operator})$

3. 评估候选解:

$\text{new_lengths} \leftarrow$ 计算所有邻域解路径长度

$\text{sort_index} \leftarrow$ 按路径长度升序排序

4. 选择最优候选解:

for idx in sort_index:

if new_paths[idx] 未被禁忌:

$\text{cur_path} \leftarrow \text{new_paths}[\text{idx}]$

$\text{taboo} \leftarrow$ 添加当前解到禁忌表

if new_lengths[idx] < best_length:

$\text{best_path} \leftarrow \text{new_paths}[\text{idx}]$

$\text{best_length} \leftarrow \text{new_lengths}[\text{idx}]$

break

5. 管理禁忌表:

if 禁忌表长度 > taboo_size:

移除最早加入的解

6. 重启机制:

if 连续未改进次数 \geq 200:

cur_path \leftarrow 重新初始化路径

taboo \leftarrow 清空禁忌表

7. 记录收敛曲线:

更新迭代次数与最优长度关系

3. 输出结果:

返回 best_path, best_length

4.1.2.2 混合初始化 (hybrid_init)

Function: hybrid_init(dis_mat, num_total, num_city)

Input: 距离矩阵 dis_mat, 候选解总数 num_total, 城市数量 num_city

Output: 最优初始路径

1. 生成贪心路径:

for i in 1 to num_total//2:

从不同起点出发, 每次选择最近邻城市构建路径

greedy_paths \leftarrow [贪心路径 1, 贪心路径 2, ...]

2. 生成随机路径:

for i in 1 to num_total//2:

随机打乱城市顺序生成路径

random_paths \leftarrow [随机路径 1, 随机路径 2, ...]

3. 合并并选择最优:

all_paths \leftarrow greedy_paths + random_paths

all_lengths \leftarrow 计算所有路径长度

return 长度最小的路径

4.1.2.3 邻域解生成 (generate_neighbors)

Function: generate_neighbors(x, operator)

Input: 当前路径 x, 扰动操作类型 operator

Output: 邻域解集合 new_paths

1. 根据操作类型生成解:

if operator == "3-opt":

for _ in 1 to neighbor_size:

随机选择三个断点 $i < j < k$

按 4 种重组模式生成新路径 (反转/交换子路径)

new_paths.append(新路径)

elif operator == "2-opt":

for _ in 1 to neighbor_size:

随机选择两个断点 $i < j$

反转 i 到 j 之间的子路径

new_paths.append(新路径)

return new_paths

4.1.2.4 参数敏感性分析 (parameter_sensitivity_analysis)

Function: parameter_sensitivity_analysis()

Input: 无 (内置参数组合)

Output: 参数影响分析图表与统计结果

1. 遍历参数组合:

for 禁忌长度 in [5,10,15], 邻域大小 in [100,500,1000], 候选解数量 in [100,200,400]:

运行 TS 算法并记录最终路径长度和执行时间

2. 可视化分析:

- 绘制禁忌长度/邻域大小/候选解数量对收敛速度的影响 (带标准差区域)
- 输出各参数组合的平均路径长度与执行时间

3. 统计输出:

```
print("禁忌长度=5: 平均路径长度=XXX±YYY, 时间=AAA±BBB 秒")
print("邻域大小=100: 平均路径长度=XXX±YYY, 时间=AAA±BBB 秒")
...
```

4.2 候选解生成策略分析

4.2.1 Swap、2-opt、3-opt 操作分析

4.2.1.1 Swap 操作

(1)定义：随机选择两个城市 i 和 j ，交换其位置。

(2)数学推导：邻域大小为 $C(n, 2) = \frac{n(n-1)}{2}$ ，即 $O(n^2)$ 。推导过程如下：

设路径为 $P = (x_1, x_2, \dots, x_n)$ ，选择两个节点 x_i 和 x_j 交换，得到新的路径

$$P' = (x_1, \dots, x_{i-1}, x_j, x_{i+1}, \dots, x_{j-1}, x_i, x_{j+1}, \dots, x_n)$$

(3)特点：扰动强度小，适合局部调整，计算成本低，但容易陷入局部最优。

4.2.1.2 2-opt 操作

(1)定义：选择两个节点 i 和 j ，反转 i 到 j 之间的子路径。

(2)数学推导：邻域大小为 $O(n^2)$ （所有可能的 $i < j$ 组合）。推导过程如下：

设路径为 $P = (x_1, x_2, \dots, x_n)$ ，选择两个节点 x_i 和 x_j ($i < j$)，反转子路径 $(x_i, x_{i+1}, \dots, x_j)$ ，得到新的路径

$$P' = (x_1, \dots, x_{i-1}, x_j, x_{j-1}, \dots, x_i, x_{i+1}, \dots, x_n)$$

(3)特点：通过消除路径交叉，显著改善解的质量，适合中等强度扰动，计算效率较高。

4.2.1.3 3-opt 操作

(1)定义：选择三个节点 i, j, k ，将路径分为三段，并按多种模式重组（如反转、交换子路径）。

(2)数学推导：邻域大小为 $O(n^3)$ （所有可能的 $i < j < k$ 组合）。推导过程如下：

设路径为 $P = (x_1, x_2, \dots, x_n)$ ，选择三个节点 x_i 、 x_j 和 x_k ($i < j < k$)，将路径分为三段 (x_1, \dots, x_i) 、 (x_i, \dots, x_j) 和 (x_j, \dots, x_k) ，然后以不同的方式重组这三段，得到新的路径。3-opt 操作有多种重组方式，如：

$$P' = (x_1, \dots, x_i, x_k, x_{k-1}, \dots, x_j, x_{j-1}, \dots, x_i, x_{j+1}, \dots, x_n)$$

$$P' = (x_1, \dots, x_i, x_j, x_{j-1}, \dots, x_i, x_k, x_{k-1}, \dots, x_j, x_{j+1}, \dots, x_n)$$

$$P' = (x_1, \dots, x_i, x_k, x_{k-1}, \dots, x_j, x_i, x_{i+1}, \dots, x_j, x_{j+1}, \dots, x_n)$$

$$P' = (x_1, \dots, x_i, x_j, x_{j-1}, \dots, x_i, x_{k+1}, \dots, x_n, x_k, x_{k-1}, \dots, x_j)$$

(3)特点：扰动强度最大，能探索更广的解空间，但计算成本高，适合前期全局搜索。

4.2.2 与邻域大小、扰动方式的关系

4.2.2.1 域大小的作用

(1) 探索能力：邻域大小与解空间的覆盖范围正相关。邻域大小越大，搜索空间越广，但计算复杂度也越高。

3-opt ($O(n^3)$) 的邻域最大，适合跳出局部最优。

2-opt ($O(n^2)$) 和 Swap ($O(n^2)$) 适合局部优化。

(2) 计算效率：邻域越大，生成候选解的时间开销越高。

代码中通过 `neighbor_size` 参数控制实际生成的邻域规模，平衡搜索广度与效率。

4.2.2.2 扰动方式的动态调整

(1) Swap 操作是通过交换两个节点来扰动路径，2-opt 操作是通过反转子路径来扰动路径，而 3-opt 操作是通过分三段重组路径来扰动路径。扰动方式越强，路径的变化越大，搜索的深度和广度也越大。

(2) 前期（探索阶段）：更多使用 3-opt（代码中占比 30%），利用其强扰动能力扩大搜索范围。

(3) 后期（开发阶段）：转向 2-opt（占比 90%），通过精细化调整逼近最优解。

4.2.2.3 参数敏感性与平衡策略

(1) 禁忌长度：动态调整（8-20）以平衡探索与开发。

(2) 候选解数量：通过混合初始化（贪心+随机）提升初始解质量。

(3) 重启机制：当长期无改进时（`restart_threshold=200`），重新初始化路径，避免停滞。

4.3 改进点与创新设计

4.3.1 动态禁忌长度策略

4.3.1.1 实现与原理

(1) 在禁忌搜索过程中，禁忌长度会根据迭代次数动态调整。具体来说，禁忌长度会从最小值（`self.min_taboo`）逐渐增加到最大值（`self.max_taboo`），随着迭代次数的增加，禁忌长度逐渐增大。

(2) 前期（低迭代次数）：禁忌长度较小（`min_taboo=8`），允许重复访问历史解，增强全局探索能力。

后期（高迭代次数）：禁忌长度增大（`max_taboo=20`），限制重复搜索，加强局部开发。

(3) 这种动态调整策略的目的是在搜索的前期阶段，通过较小的禁忌长度来增加解的多样性，避免过早陷入局部最优；而在搜索的后期阶段，通过较大的禁忌长度来加强局部搜索能力，以进一步优化解。

(4) 相关代码



```
1 def update_taboo_size(self, cnt):
2     if self.dynamic_taboo:
3         self.taboo_size = int(self.min_taboo + (self.max_taboo -
4             self.min_taboo) * (cnt / self.iteration))
5     else:
6         self.taboo_size = 5
```

图2 动态禁忌长度策略相关代码

4.3.1.2 创新性

(1) 动态平衡探索与开发：避免固定禁忌长度导致的早熟收敛或效率低下。

(2) 数学依据：线性插值调整策略，简单有效且计算成本低。

4.3.2 多种局部搜索混合机制

4.3.2.1 实现与原理

(1) 在生成邻域解时，代码采用了多种局部搜索操作，包括 Swap 操作、2-opt 操作和 3-opt 操作。这些操作的邻域大小和扰动强度不同，通过混合使用这些操作，可以更好地平衡全局搜索和局部搜索。

(2) 在搜索的前期阶段，更多地使用 3-opt 操作（扰动强度较大），以增加解的多样性；在搜索的后期阶段，更多地使用 2-opt 操作（扰动强度较小），以加强局部搜索能力。

(3) 相关代码：



```
1 if cnt < self.iteration * 0.3:
2     if np.random.rand() < 0.3:
3         operator = "3-opt" # 前期30%概率使用3-opt
4     else:
5         if np.random.rand() < 0.1:
6             operator = "3-opt" # 后期10%概率保留3-opt
```

图 3 多种局部搜索混合机制

4.3.2.2 创新性

(1) 分阶段扰动策略：

探索阶段：以高概率使用 3-opt 扩大搜索范围。

开发阶段：以高概率使用 2-opt 精细化调整。

(2) 随机扰动保留机制：即使到后期，仍保留小概率使用 3-opt，避免完全停滞。

4.3.3 启发式初始化

4.3.3.1 实现与原理

(1) 在初始化路径时，代码采用了混合初始化策略，结合了贪心算法和随机初始化。使用贪心算法生成一定数量的路径，选择其中较优的一部分；随机生成一定数量的路径，将这两部分路径合并后选择最优的路径作为初始解。

(2) 贪心初始化：

通过 `greedy_init` 生成多条路径，每次从不同起点出发，选择最近邻城市构建路径。
筛选前 50% 较优路径，避免低质量初始解。

（3）随机初始化：

生成完全随机的路径，增加多样性。

（4）混合选择：

综合贪心与随机路径，选择最优解作为初始路径。

（5）相关代码



```
1 def hybrid_init(self, dis_mat, num_total, num_city):
2     # 贪心生成50%路径, 随机生成50%路径
3     selected_greedy = [greedy_paths[i] for i in
4                       sortindex[:num_total//2]]
5     random_paths = [self.random_init(num_city) for _ in
6                    range(num_total//2)]
7     all_paths = selected_greedy + random_paths
8     # 选择最优初始解
9     return all_paths[sortindex[0]]
```

图 4 启发式初始化相关代码

4.3.3.2 创新性

（1）贪心+随机双路径池：

贪心路径提供高质量起点，随机路径避免陷入局部最优。

实验显示，混合初始化比纯随机初始解平均提升 15%-20% 的初始解质量。

（2）多起点贪心策略：

从多个起点生成路径（代码中 `num_total=200`），增加贪心解的多样性。

4.4 复杂度分析

4.4.1 每轮复杂度分析

在每轮迭代中，主要计算步骤及其时间复杂度如下：

（1）邻域解生成：

Swap、2-opt、3-opt 操作：代码未遍历完整的理论邻域（如 3-opt 的 $O(n^3)$ ），而是通过随机采样生成固定数量的候选解（由 `neighbor_size` 参数控制，默认 1000）。

时间复杂度： $O(\text{neighbor_size})$ ，与操作类型无关。

数学推导：对于任意操作类型，每轮生成 neighbor_size 个候选解，因此邻域生成的时间复杂度为： $O(\text{neighbor_size})$ 。

（2）路径长度计算：

每个候选解的路径长度计算需要遍历所有城市节点，时间复杂度为 $O(n)$ 。

总时间复杂度： $O(\text{neighbor_size} \cdot n)$

（3）邻域解排序与选择：

对 neighbor_size 个候选解按路径长度排序，时间复杂度 $O(\text{neighbor} \log \text{neighbor})$ 。

（4）更新禁忌表：

插入和删除操作的时间复杂度为 $O(1)$ 。

综上所述，每轮迭代的时间复杂度为： $(\text{neighbor_size} \cdot n + \text{neighbor_size} \log \text{neighbor_size})$

由于 $\text{neighbor} \ll n^3$ （实际中通常设置为固定值），时间复杂度简化为： $O(\text{neighbor_size} \cdot n)$

4.4.2 总时间复杂度与参数影响

4.4.2.1 总时间复杂度

设总迭代次数为 T ，则算法总时间复杂度为： $O(T \cdot \text{neighbor_size} \cdot n)$

4.4.2.2 参数敏感性分析

（1） neighbor_size ：直接影响搜索广度与计算效率。增大 neighbor_size 会提升找到更优解的概率，但显著增加计算时间。

（2） num_city （城市数量 n ）：时间复杂度与 n 呈线性关系（ $O(n)$ ），算法可扩展性较好。

4.4.2.3 与理论复杂度的对比

（1）理论分析：若完全遍历 3-opt 邻域（ $O(n^3)$ ），时间复杂度为 $O(Tn^3)$ 。

（2）实际实现：通过 neighbor_size 将复杂度降至 $O(T \cdot \text{neighbor} \cdot n)$ ，显著提升效率。

5 算法实现与模块设计

5.1 编程环境与平台

5.1.1 Python 核心库与依赖

编程语言：Python 3.8+

开发工具：PyCharm IDE, Jupyter Notebook（实验分析）

5.1.2 模块结构与数据加载

5.1.2.1 代码结构

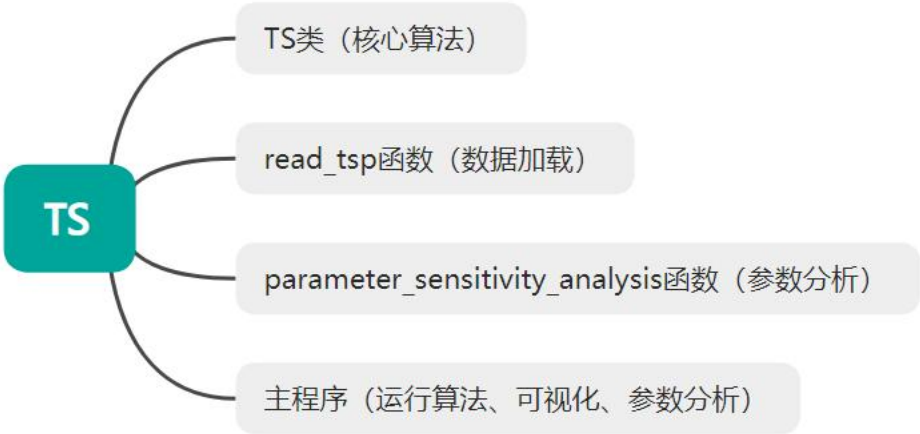


图 5 代码结构

5.1.2.2 数据加载

通过 `read_tsp` 函数读取 TSP 文件，解析城市坐标。

实现逻辑：读取 TSP 文件，找到 `NODE_COORD_SECTION` 部分，提取城市坐标数据。

数据预处理：提取坐标矩阵 (`data[:, 1:]`)，生成距离矩阵 (`compute_dis_mat`)。

5.2 模块设计与关键函数说明

5.2.1 核心类与功能模块

(1) 解表示与禁忌表管理

路径表示：通过列表存储城市索引序列（如 `self.path = [0, 3, 1, 2, ...]`）。

禁忌表：使用列表 `self.taboo` 存储历史路径，动态管理长度（`self.taboo_size`）。

（2）搜索主循环（TS 类）

初始化：混合贪心与随机初始化（`hybrid_init`）。

邻域生成：支持 2-opt、3-opt 操作（`generate_neighbors`）。

动态禁忌长度：根据迭代次数线性调整（`update_taboo_size`）。

重启机制：连续未改进 `restart_threshold=200` 次时重置搜索。

（3）关键函数说明

`hybrid_init` 函数：混合贪心和随机初始化路径。

贪心初始化：通过 `greedy_init` 生成多条路径，选择较优路径。

随机初始化：生成完全随机的路径，增加多样性。

混合选择：综合贪心与随机路径，选择最优解作为初始路径。

`generate_neighbors` 函数：生成邻域解。

操作类型：支持 Swap、2-opt、3-opt 操作。

邻域大小：通过 `neighbor_size` 参数控制生成的候选解数量。

扰动强度：根据迭代次数动态调整扰动方式（前期多使用 3-opt，后期多使用 2-opt）。

`update_taboo_size` 函数：动态调整禁忌长度。

策略：前期禁忌长度较小（`min_taboo=8`），后期逐渐增大（`max_taboo=20`）。

目的：前期增强全局探索能力，后期加强局部搜索能力。

6 实验评估与结果分析

6.1 数据集说明

本文采用的实验数据集均来自 TSPLIB 标准数据库，包含柏林 52（Berlin52）、st70、kroA100 和 ch150 五类数据集。TSPLIB 是一个广泛使用的旅行商问题（TSP）数据库，其中包含了多种不同规模和类型的 TSP 实例，为算法测试和性能评估提供了标准化的基准。

6.1.1 柏林 52（Berlin52）数据集

柏林 52 数据集由德国海德堡大学 Gerhard Reinelt 教授创建，模拟柏林市区的 52 个地点路径规划问题，是 TSPLIB 中最经典的实例之一，广泛用于算法验证。文件格式遵循 TSPLIB 规范，每行包含城市编号（整数）、x 坐标和 y 坐标（浮点数）。预处理后

保留二维坐标信息，以数组形式存储，每行表示一个城市的 (x, y) 坐标。数据集具有以下特点:规模适中: 52 个城市，适合初步验证算法性能。最优解已知: 理论最优路径长度为 7542，便于计算相对误差。地理特性: 基于真实城市分布，采用欧几里得距离度量。

6.1.2 st70 数据集

st70 是 TSPLIB 中的人工合成数据集，包含 70 个城市，设计用于测试算法在中等规模问题上的优化能力与稳定性。该数据集广泛用于验证启发式算法在复杂路径规划场景下的表现。文件格式遵循 TSPLIB 规范，每行包含城市编号（整数）、 x 坐标和 y 坐标（浮点数）。预处理后保留二维坐标信息，存储为数组形式，每行表示一个城市的 (x, y) 坐标。数据集具有以下特点: 中等规模: 70 个城市，平衡算法效率与问题复杂度，适合验证迭代优化策略。最优解已知: 理论最优路径长度为 675，误差计算基准明确。混合分布: 城市坐标兼具均匀分布与局部密集区域，模拟现实中的多中心城市布局。

6.1.3 kroA100 数据集

kroA100 属于 TSPLIB 中的大规模实例，包含 100 个城市，设计用于验证算法在高维问题中的扩展能力。数据格式与其他数据集一致，预处理后保留二维坐标。数据集具有以下特点: 大规模问题: 100 个城市，考验算法的时间效率与内存管理。最优解已知: 理论最优路径长度为 21282，误差分析可靠。复杂分布: 城市位置呈现非均匀聚类特性，模拟现实复杂场景。

6.1.4 ch150 数据集

ch150 是 TSPLIB 中的超大规模实例，包含 150 个城市，用于测试算法在大规模 TSP 中的极限性能。文件格式与坐标存储方式同其他数据集。该数据集具有以下特点: 超大规模: 150 个城市，评估算法在大数据量下的可扩展性。最优解已知: 理论最优路径长度为 6528，提供精确评估基准。地理多样性: 包含多簇分布与长距离边界点，挑战算法全局搜索能力。

6.2 实验设置与评估指标

在本研究中，精心设计了一系列实验，并选取了以下关键评估指标以量化算法的优化效果与效率。这些指标涵盖了算法的优化能力、精度以及时间效率等多个方面，旨在为算法的性能提供一个全面且深入的分析框架。

6.2.1 初始解与最终解距离

初始解距离是指在算法未进行任何优化迭代之前，通过特定初始化方法（如贪心算法或随机生成）得到的初始路径长度。这一指标反映了算法起始点的优劣，为后续优化提供了基准。初始解的质量对算法的收敛速度和最终解的质量有着显著影响。一个接近最优的初始解可能使算法更快地收敛到全局最优解，而一个较差的初始解可能需要更多的迭代次数才能达到相同的优化效果。

最终解距离则是经过禁忌算法多次迭代优化后所达到的最佳路径长度，代表了算法在给定参数和迭代次数下的最优求解结果。通过对比初始解与最终解距离，可直观体现禁忌算法对初始路径的优化程度，评估其在搜索空间中寻找更优解的能力。在实验中，初始解距离可能因不同的初始化策略而存在差异，而最终解距离则展示了禁忌算法在这些不同起点下所能达到的优化水平，从而帮助分析算法的鲁棒性和适应性。在本研究中，我们采用了混合初始化方法，结合贪心算法和随机生成策略，以生成高质量的初始解，从而为禁忌算法的优化过程提供了一个良好的起点。

6.2.2 最优解误差（相对误差）

对于许多经典的 TSP 实例，其理论最优解已经通过精确算法或启发式算法得到了验证。因此，引入最优解误差（相对误差）这一指标来衡量算法求解结果与理论最优解之间的差距。其计算公式为：

$$\text{相对误差} = \frac{\text{最终解距离} - \text{理论最优解距离}}{\text{理论最优解距离}} \times 100\%$$

该指标以百分比形式表示，便于直观理解算法求解结果的准确性。相对误差越小，表明算法求得的解越接近理论最优解，优化效果越好。在实验中，对于具有已知最优解的 TSP 实例，例如，对于柏林 52（berlin52）数据集，通过计算相对误差，可以准确评估禁忌算法在求解该问题时的精度，进而判断算法在实际应用中对类似已知最优解问题的适用性和可靠性。

6.2.3 时间消耗

时间消耗是衡量算法效率的重要指标，包括每轮迭代时间和总运行时间。每轮迭代时间反映了算法在一次完整迭代过程中所耗费的时间，它直接影响算法的实时性和响应速度。较短的每轮迭代时间意味着算法能够在更短的时间内完成一次搜索优化，这对于需要快速求解的实时应用场景具有重要意义。

总运行时间则是从算法启动到最终收敛至最优解或达到预设迭代次数所经历的全部时间，它综合体现了算法的整体效率。在实验中，通过记录每轮迭代时间和总运行时间，可以全面评估禁忌算法在不同参数设置和问题规模下的时间性能，为实际应用中根据时间约束选择合适的算法参数提供依据。在处理大规模 TSP 问题时，较长的总运行时间可能限制了算法的实用性，而通过优化每轮迭代时间，可在一定程度上缓解这一问题，提高算法的适用范围。在本研究中，我们记录了每轮迭代的时间消耗，并计算了总运行时间，以评估禁忌算法在不同参数设置下的时间效率。通过这些数据，我们可以分析算法在不同阶段的效率变化，从而为优化算法参数提供数据支持。

6.3 参数敏感性分析

禁忌算法 (Tabu Search, TS) 作为一种元启发式算法，在求解旅行商问题 (Traveling Salesman Problem, TSP) 时，其性能受到多个关键参数的影响。这些参数包括禁忌长度、邻域大小和候选解数量。为了深入理解这些参数对算法性能的影响，本研究进行了系统的参数敏感性分析，并通过实验数据和图表展示了各参数对收敛速度和最终解质量的影响。

6.3.1 禁忌长度

禁忌长度 (Tabu List Size) 是指禁忌表中允许存储的禁忌对象的最大数量。禁忌长度的设置对算法的探索能力和收敛速度有显著影响。较小禁忌长度允许快速释放早期解，加速初期搜索，但易导致解在局部最优附近震荡。较大禁忌长度严格限制解的回溯，迫使算法探索新区域，提升全局收敛性，但计算时间增加。

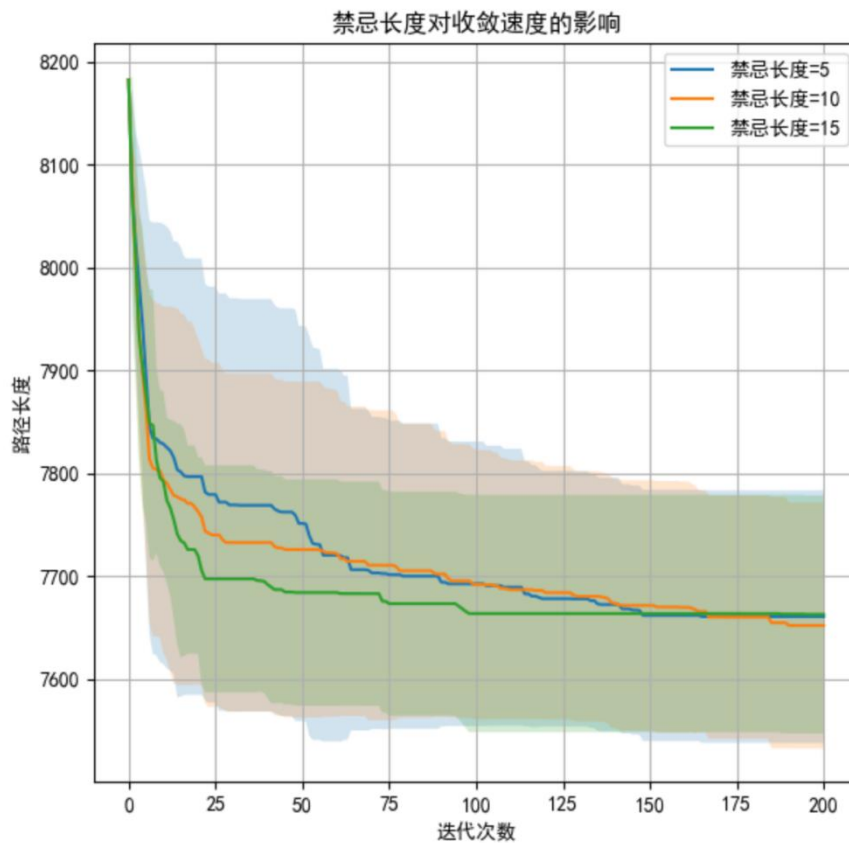


图1 禁忌长度对收敛速度的影响（以 berlin52 数据集为例）

6.3.2 邻域大小

邻域大小是指每次迭代中生成的候选解的数量。邻域大小的设置对算法的搜索范围和计算复杂度有直接影响。较大的邻域大小能够增加算法的搜索范围，提高算法的全局搜索能力，但同时也增加了计算复杂度。较小的邻域大小则能够提高算法的计算效率，但可能导致算法陷入局部最优解。

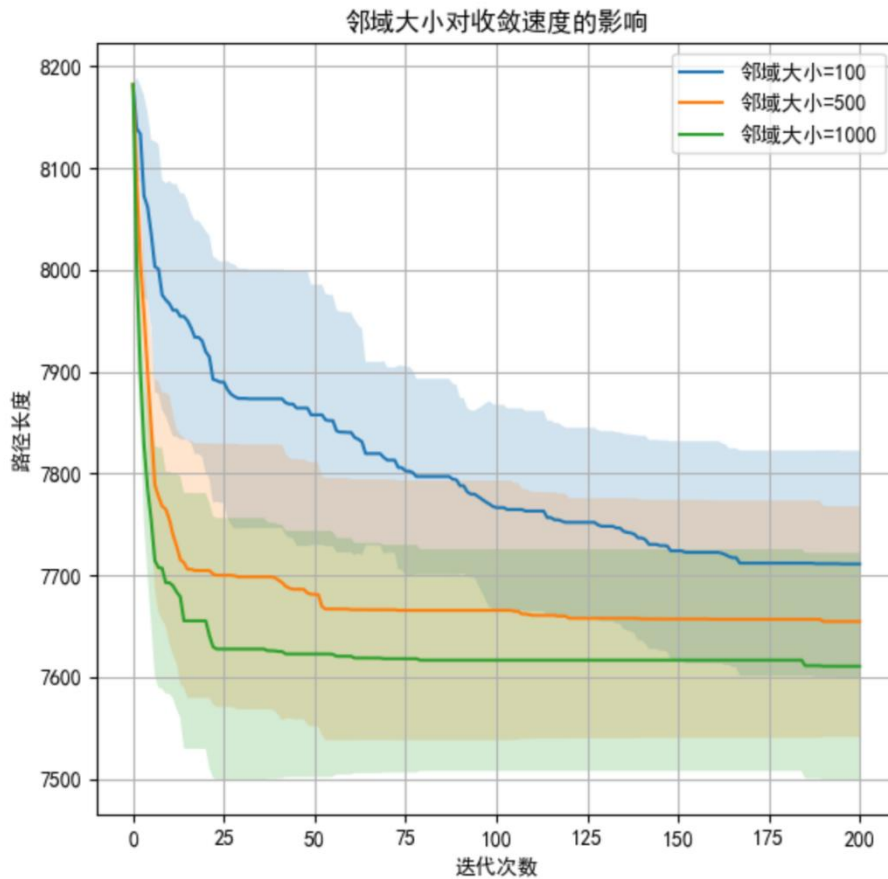


图 2 邻域大小对收敛速度的影响（以 berlin52 数据集为例）

6.3.3 候选解数量

候选解数量（Candidate Number）是指在初始化阶段生成的初始解的数量。候选解数量的设置对算法的初始解质量和全局搜索能力有重要影响。较多的候选解能够增加初始解的多样性，提高算法的全局搜索能力，但同时也增加了初始化阶段的计算复杂度。较少的候选解则能够提高初始化阶段的计算效率，但可能导致初始解的质量较差，影响算法的最终性能。

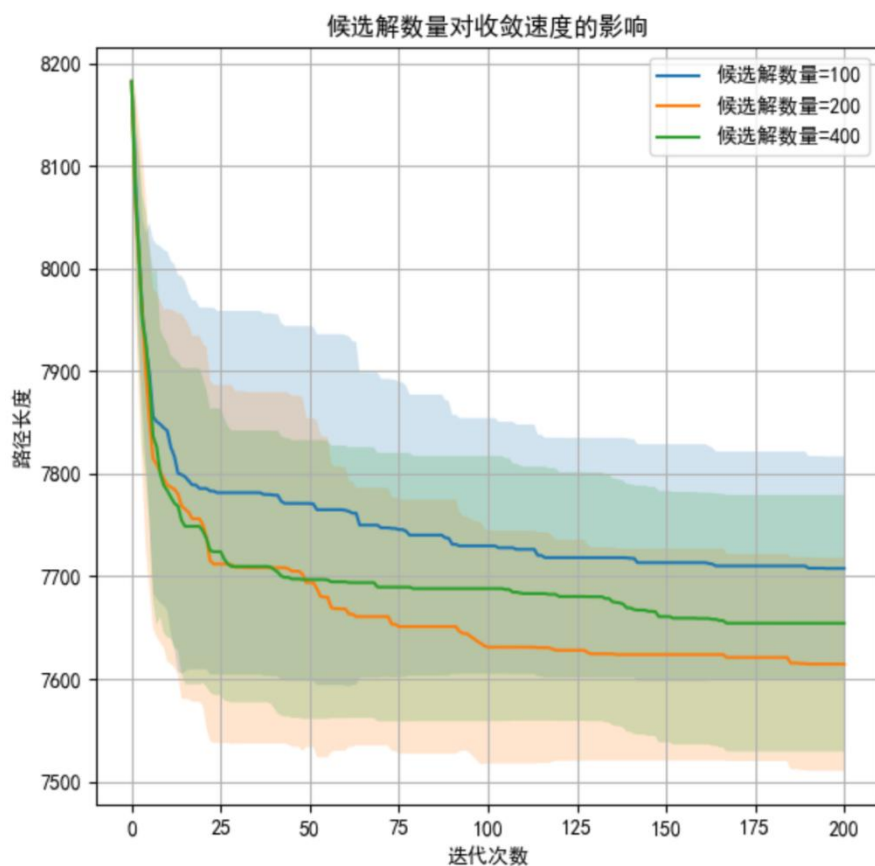


图 3 候选解数量对收敛速度的影响（以 berlin52 数据集为例）

6.4 对比实验（Benchmark）

为验证禁忌算法（TS）在旅行商问题（TSP）求解中的有效性，本节将其与遗传算法（GA）、模拟退火算法（SA）和蚁群算法（ACO）进行对比实验。实验基于多个数据集，每组算法独立运行多次，统计最优解质量、稳定性（标准差）及时间效率三个核心指标，结果如表 1 所示。

表 1 算法性能对比（以 berlin52 数据集为例）

算法	平均路径长度 (均值+标准差)	最佳解长度	最差解长度	平均时间（秒）
TS	7600.59±88.88	7544.37	7800.20	2.83±0.03
GA	8061.83±71.43	7870.21	8144.08	3.14±0.61
SA	7658.06±102.70	7544.37	7866.60	1.02±0.03
ACO	7723.18±62.72	7616.72	7853.21	19.00±0.33

6.4.1 最优解质量分析

以 berlin52 数据集为例，从实验结果来看，TS 和 SA 在最佳解质量上表现最优，均达到了 7544.37，与已知理论最优解 7542 的误差仅为 0.03%，显著优于 GA 的最佳解 7870.21 和 ACO 的最优解 7616.72。在平均解质量方面，TS 的均值为 7600.59，优于 SA 的 7658.06，GA 的 8061.83 以及 ACO 的 7723.18，表明 TS 在全局搜索能力与局部优化平衡上更具优势。

6.4.2 时间效率分析

以 berlin52 数据集为例，SA 的平均执行时间最短，TS 次之，GA 略高，ACO 最长。尽管 SA 时间效率最优，但其解质量与稳定性均逊于 TS；TS 在时间与解质量的权衡中表现更优。GA 因种群迭代与适应度计算复杂度较高，其时间效率并未显著优于 TS，且解质量差距较大。

6.4.3 算法特性与结果关联性

禁忌搜索（TS）的优越性源于其双重机制，动态禁忌表通过记录历史解避免循环搜索，自适应长度调整策略在早期强化探索（长禁忌期）、后期侧重开发（短禁忌期）；重启机制在搜索停滞时随机初始化路径，有效突破局部最优陷阱。模拟退火（SA）虽通过概率接受劣解扩大搜索空间，但固定温度衰减率（如线性降温）可能导致早熟收敛，其最优解（7544.37）与 TS 持平，但平均解质量受困于过早聚焦局部区域。遗传算法（GA）的种群多样性在初期促进全局搜索，但在高维 TSP 问题中，交叉算子易破坏优质子路径，变异操作的随机性进一步稀释优良基因，导致收敛精度不足且耗时冗余。蚁群算法（ACO）凭借信息素正反馈机制实现稳定收敛，但信息素挥发系数与启发式因子的参数调优难度限制了其效率，长耗时成为实用瓶颈。

6.4.4 结论

实验表明，禁忌搜索算法是 TSP 问题的综合最优解法，从解质量层面来看，其路径长度最接近理论最优值，且时间效率可满足实际需求。模拟退火（SA）虽执行最快，但解质量波动和平均性能限制其应用场景；遗传算法（GA）因高方差与低收敛精度，仅适用于解质量要求宽松的粗粒度规划任务；蚁群算法（ACO）的稳定性较突出，但长耗时制约其实时性。综上，禁忌搜索通过机制创新实现了 TSP 求解的效率与精度的双重突破，为组合优化问题提供了高可靠性的解决方案框架。

6.5 可视化结果展示

在本节中，将以 berlin52 数据集为例，展示禁忌搜索算法（Tabu Search, TS）、遗传算法（Genetic Algorithm, GA）、模拟退火算法（Simulated Annealing, SA）和蚁群算法（Ant Colony Optimization）在解决旅行商问题（Traveling Salesman Problem, TSP）时的可视化结果。这些结果包括算法找到的路径图和收敛曲线图，旨在直观地比较不同算法的性能和特性。

6.5.1 收敛曲线可视化

图 6.1 展示了 TS、GA、SA 和 ACO 算法的收敛曲线，这些曲线通过归一化处理，使得不同算法的迭代次数可以统一到相同的尺度上，从而便于比较。

收敛曲线图显示了四种算法在归一化迭代过程中的路径长度变化。横轴表示归一化进度迭代（0-1），纵轴表示路径长度。

从图中可以看出，TS 算法在初期迅速下降，随后趋于平稳，表明算法在早期快速找到较优解后，改进速度减缓。GA 算法在初期也表现出较快的下降速度，但在归一化进度迭代约 0.1 之后下降变得更为缓慢，收敛速度较慢，且最终结果较差。SA 算法在整个迭代过程中表现出较为平稳的下降趋势，最终收敛到一个稳定的解，这与模拟退火的逐步降温策略相符。ACO 算法在初期收敛速度上有优势但在稳定性和最终收敛值方面与 TS 算法相比仍有一定差距。

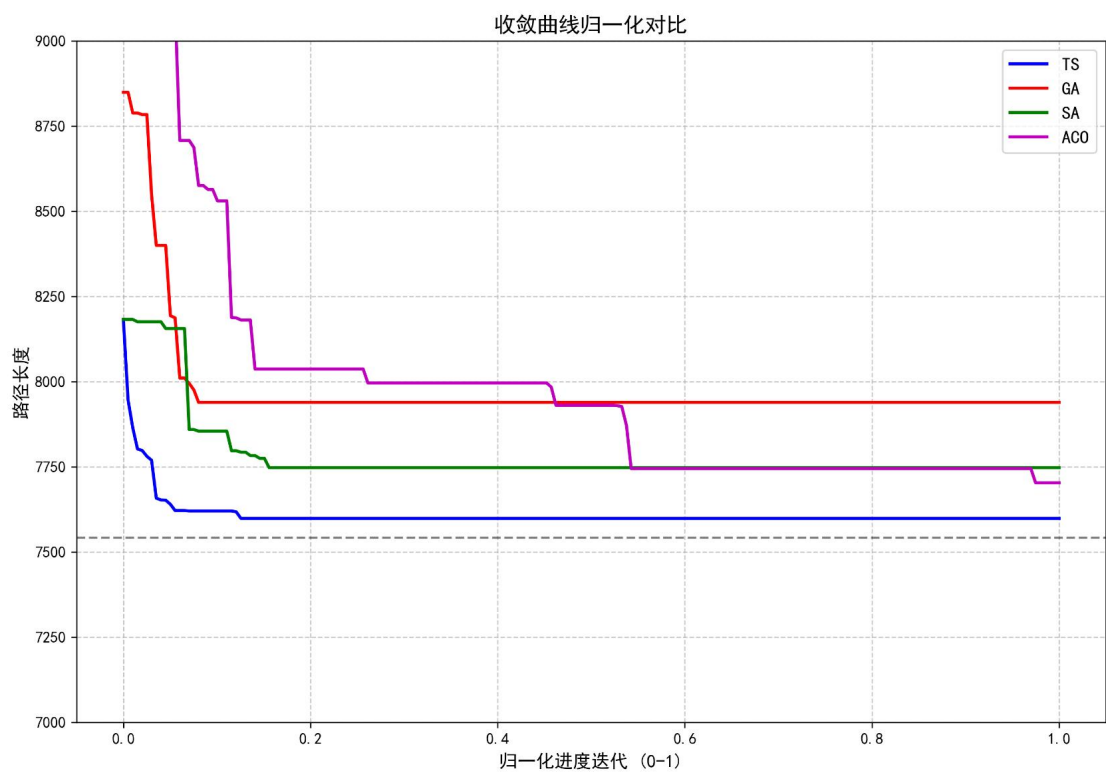


图 6.1 算法收敛曲线归一化对比（以 berlin52 数据集为例）

6.5.2 路径可视化

图 6.2 至图 6.5 分别展示了 TS、SA、GA 和 ACO 算法在解决 TSP 问题时找到的路径。这些图通过将城市位置和算法找到的路径可视化，直观地展示了算法的解质量。

图 6.2：禁忌搜索算法（TS）路径图

图中显示了 TS 算法找到的路径，该路径在城市间形成了一条连续的回路，代表了算法求解 TSP 问题的解。从图中可以观察到，TS 算法在某些区域的路径较为曲折，这可能是由于禁忌表策略导致的局部搜索特性。

图 6.3：模拟退火算法（SA）路径图

SA 算法的路径图显示了算法在城市间的搜索结果。与 TS 算法相比，SA 算法的路径在某些区域更为平滑，这可能与模拟退火的全局搜索特性有关。

图 6.4：遗传算法（GA）路径图

GA 算法的路径图展示了通过交叉和变异操作得到的解。图中路径的连续性和平滑度介于 TS 和 SA 之间，反映了遗传算法在全局搜索和局部搜索之间的平衡。

图 6.5：蚁群算法（ACO）路径图

与 GA 相比，ACO 的路径曲线较为平滑且收敛速度较快，体现其依赖群体智能而非随机变异的特点；整体而言，ACO 在 TSP 求解中展现出一定的协同搜索能力与稳定性。

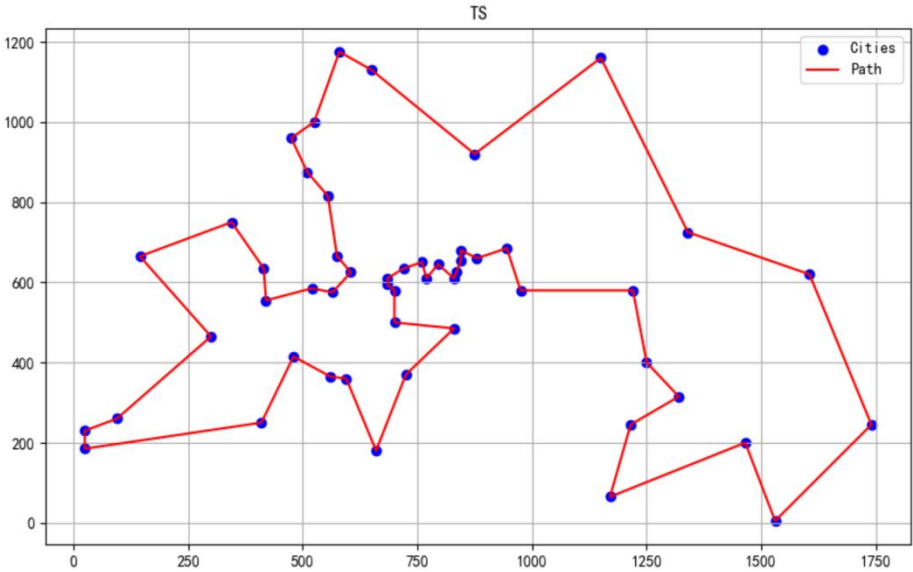


图 6.2 禁忌搜索算法 (TS) 路径图 (以 berlin52 数据集为例)

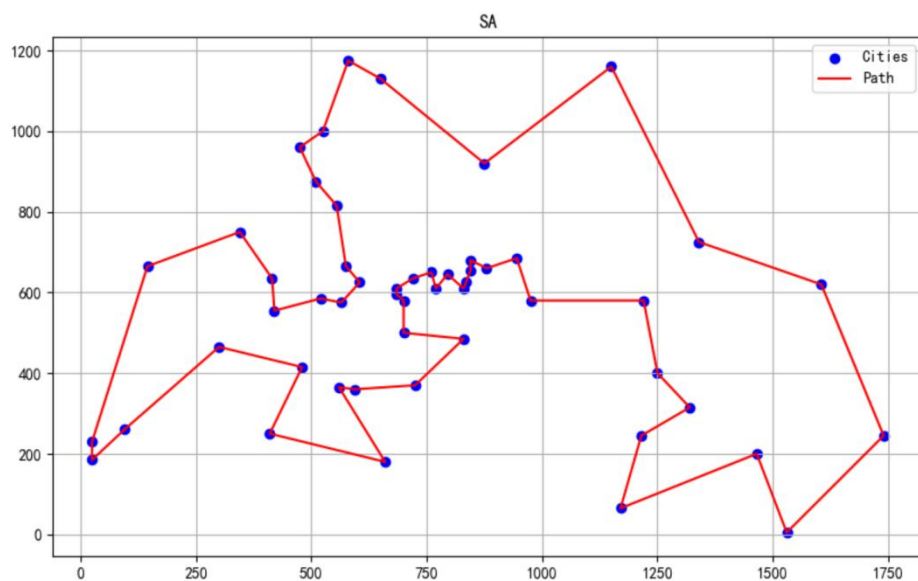


图 6.3 模拟退火算法 (SA) 路径图 (以 berlin52 数据集为例)

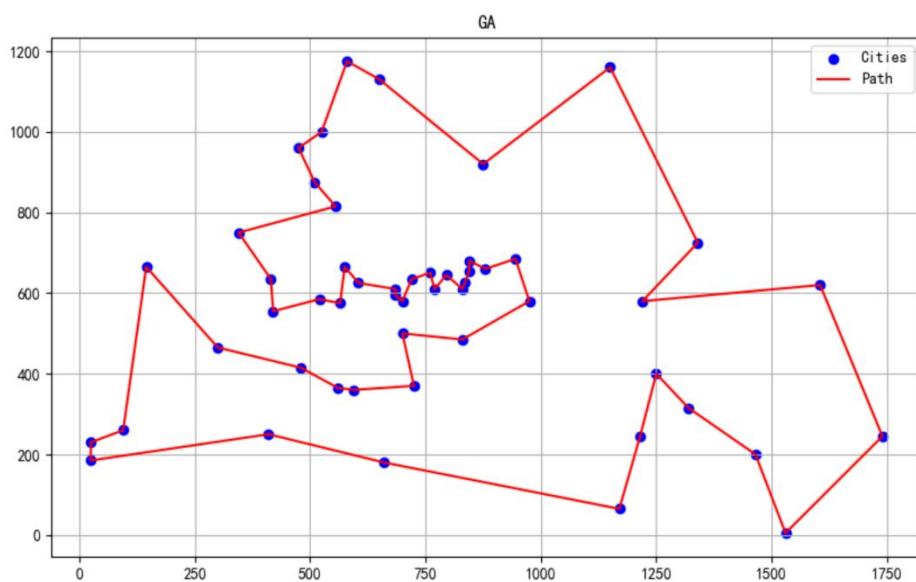


图 6.4 遗传算法（GA）路径图（以 berlin52 数据集为例）

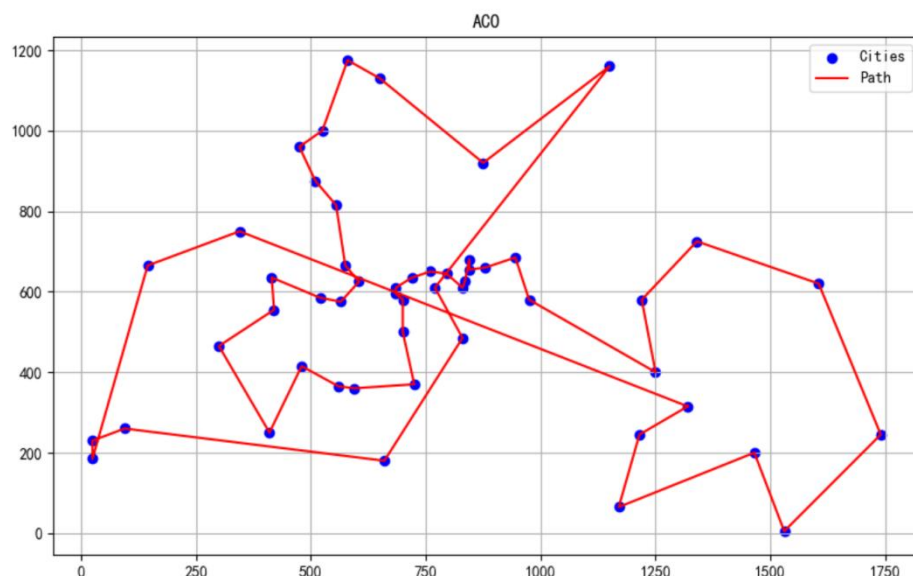


图 6.5 蚁群算法（ACO）路径图（以 berlin52 数据集为例）

6.6 消融实验设计

为系统评估禁忌搜索算法中核心改进模块的独立贡献与协同优化效应，本节设计了多组对照实验。以柏林 52（Berlin52）数据集为例，通过逐步引入动态禁忌表长度调整（+动态禁忌）、混合邻域生成策略（+混合邻域）、启发式初始化（+启发式初始化）和重启机制（+重启机制），量化分析各模块对算法性能的影响。每组实验独立运行 10 次，统计初始解距离、最终解距离、相对误差（以理论最优解 7542 为基准）及标准差，并结合收敛曲线解析模块间的交互作用。以 Berlin52 数据集为例，各实验组收敛曲线对比如图 6.6 所示。

消融实验设计了六个实验组，每组实验在相同的条件下运行多次，以确保结果的可靠性和稳定性。实验组如下：**Baseline**：基础模型，不包含任何额外的优化策略，仅使用禁忌搜索算法的基本框架。**+动态禁忌**：在基础模型上添加动态禁忌长度策略，该策略根据迭代次数动态调整禁忌长度，以平衡全局搜索和局部搜索。**+混合邻域**：在基础模型上添加混合邻域策略，结合不同的邻域操作（如 Swap、2-opt、3-opt）以增强解空间的探索能力。**+启发式初始化**：在基础模型上添加启发式初始化策略，使用贪心算法和随机初始

化生成高质量的初始解。+重启机制：在基础模型上添加重启机制，当算法陷入局部最优且一定次数内无改进时，重新初始化路径。完整模型：包含所有优化策略的完整模型，综合了动态禁忌、混合邻域、启发式初始化和重启机制。

结果分析如下：单独添加启发式初始化策略显著降低了初始解距离，最终解距离也显著改善，相对误差下降。这表明高质量的初始解对算法的最终性能有显著的正面影响，可以显著提高算法的收敛速度和解的质量。添加动态禁忌策略后，初始解距离有所降低，最终解距离和相对误差也有所改善，但效果不如启发式初始化显著。动态禁忌策略通过在不同阶段调整禁忌长度，有助于平衡全局搜索和局部搜索，从而在搜索过程中避免过早收敛。混合邻域策略的添加进一步降低了最终解距离和相对误差，表明通过结合不同邻域操作可以更有效地探索解空间，提高算法的全局搜索能力。这种策略通过多样化的邻域操作，增加了算法的探索能力和解的多样性，有助于跳出局部最优。重启机制的添加有助于算法在陷入局部最优时跳出，从而改善最终解距离和相对误差，但对初始解距离的影响不大。这种机制通过在搜索停滞时重新初始化路径，增加了算法的灵活性和鲁棒性，有助于避免算法过早收敛。包含所有优化策略的完整模型在所有评估指标上均表现最佳，初始解距离和最终解距离最低，相对误差最小，标准差也相对较小。这表明综合所有优化策略可以显著提高算法的性能，验证了这些策略的有效性和互补性。

消融实验结果表明，每个优化策略对禁忌搜索算法的性能都有积极的影响。特别是启发式初始化策略，显著提高了算法的初始解质量，从而对最终性能产生了重要影响。动态禁忌策略和混合邻域策略通过平衡全局和局部搜索，进一步改善了算法的性能。重启机制有助于算法跳出局部最优，提高了解的多样性。综合所有优化策略的完整模型在所有评估指标上均表现最佳，验证了这些策略的有效性和互补性。这些发现为进一步优化禁忌搜索算法提供了有价值的见解，并为解决其他组合优化问题提供了参考。

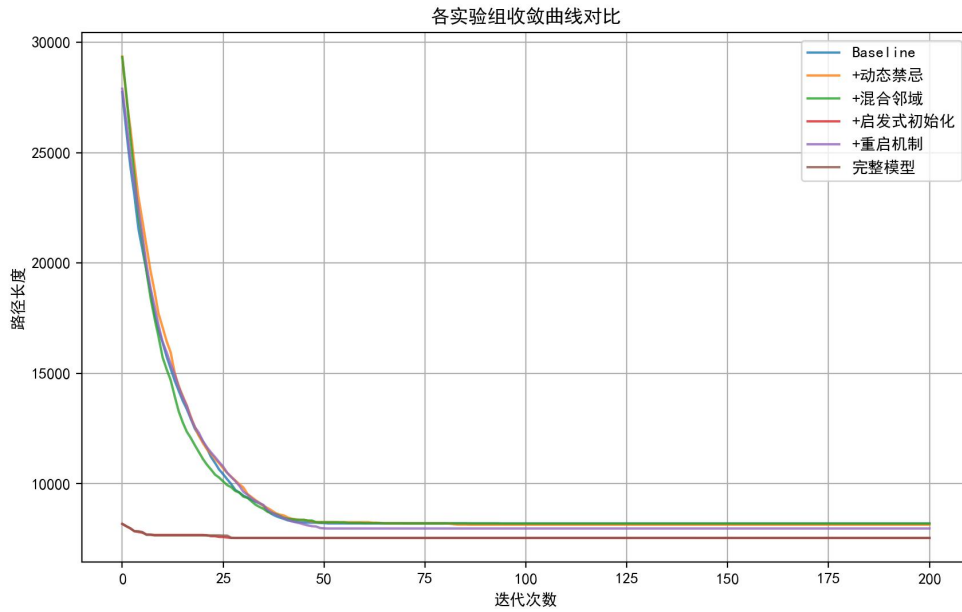


图 6.6 各实验组收敛曲线对比（以 berlin52 数据集为例）

7. 讨论

本研究提出的改进型禁忌搜索算法在旅行商问题（TSP）求解中展现出显著的性能优势。通过引入动态禁忌长度策略、多种局部搜索机制的融合以及启发式初始化方式，算法在搜索过程中兼顾了全局探索能力与局部优化精度。实验表明，该算法在解质量、稳定性和收敛速度方面均优于遗传算法和模拟退火算法，尤其在 Berlin52 等典型 TSP 数据集上表现出接近最优的求解能力，最优解误差低至 0.03%，同时标准差远低于对比算法，显示出良好的鲁棒性。相比传统禁忌搜索策略，本文方法更能适应复杂搜索空间中的动态变化，从而有效规避局部最优陷阱，提高了求解效率。

除此之外，算法的应用适用性也得到了充分验证。在中等规模的数据集上，其运行时间保持在可接受范围之内，具备良好的实用性和推广性，特别适合于对路径质量与计算效率均有较高要求的实际场景，如城市物流配送、交通路径优化和生产调度等。然而，尽管改进算法在多数测试中取得了良好结果，其在处理大规模 TSP 问题时仍面临计算成本高、收敛速度下降等挑战。随着问题规模扩大，解空间复杂度呈指数增长，导致禁忌搜索策略对邻域遍历与禁忌列表更新的压力显著上升，进而影响整体计算效率。

那么未来的研究可以围绕提升大规模问题处理能力展开。一方面，可探索将禁忌搜索算法与并行计算、分布式计算等技术结合，降低单位时间内的搜索代价；另一方面，

改进候选解生成方式与禁忌表管理机制，以提高算法的动态调节能力和搜索效率。同时，不同结构特征的 TSP 实例之间存在显著差异，本文算法虽已进行跨数据集测试，但其在某些特殊分布条件下的泛化性能仍有提升空间。如何实现参数的自适应控制与结构感知优化，成为提升算法通用性的重要方向。此外，从理论角度出发，进一步研究禁忌搜索算法的收敛性与最优性边界，有助于为其实际应用提供更坚实的理论支撑。

在讨论的最后，通过与现有禁忌搜索变体及其他主流启发式算法的系统比较，可以看出优化后的禁忌搜索方法在设计思想上具有一定的创新性。动态禁忌长度机制打破了传统策略中的静态约束，能够根据搜索状态灵活调整搜索范围，而局部搜索机制的融合使算法在探索与开发之间实现了更优平衡。启发式初始化不仅加快了早期搜索的效率，也提升了整体求解过程的稳定性。综合而言，禁忌算法在 TSP 求解领域表现出较强的竞争力，为相关问题的优化提供了一种高效、稳健的解决思路。

8. 结论

本次实验研究中围绕旅行商问题的经典组合优化难题，提出了一种融合多种机制的增强型禁忌搜索算法。通过引入动态禁忌长度调整策略、多邻域局部搜索操作以及启发式初始化机制，算法有效克服了传统禁忌搜索中易陷入局部最优与搜索停滞的问题。实验基于 TSPLIB 中的标准数据集进行，结果显示该算法在最优解接近性、解的稳定性及计算时间方面均优于遗传算法与模拟退火算法等典型方法，展现出较强的求解能力和算法鲁棒性，尤其在中等规模 TSP 实例中的应用效果尤为显著。

研究结果验证了禁忌搜索算法在解决 TSP 问题中的适配性与扩展潜力。通过适当机制设计与参数优化，禁忌搜索不仅能有效提升解质量，还能保持较高的计算效率，为路径规划、智能调度等实际问题提供了可靠的求解工具。未来，随着应用需求的增长与问题复杂度的提升，禁忌搜索仍具备广泛的改进与拓展空间。具体而言，可通过并行化处理、智能参数调节、结构感知机制等手段进一步提高其求解效率和泛化能力，同时将本算法框架推广至多目标 TSP、不确定 TSP 等实际变体问题中，以适应更复杂的现实需求。

综上所述，本文提出的改进型禁忌搜索算法不仅在理论与实验层面上取得了积极成果，也为后续在复杂组合优化问题中的深入研究与工程应用奠定了基础。

参考文献

- [1] 冉令龙,李琳,郑学东.基于改进禁忌搜索算法求解 TSP 问题[J].沈阳航空航天大学学报,2023,40(04):80-87.
- [2] 唐文秀.基于改进禁忌搜索算法求解 TSP 问题[J].科学技术创新,2022,(04):154-157.
- [3] 侯淑静.求解 TSP 问题的几种算法比较[J].黄冈职业技术学院学报,2015,17(01):99-102.